

日本大学 正員 色部 誠
同上 正員 の瀬田 亨一

1. まえがき

金属のはじめすべてが高温・高応力のモードでクリープ変形を生ずる。クリープ過程の多くは、クリープ速度が減少をたどる一期クリープから、次第にクリープ速度が一定となる二期クリープを経て、クリープ速度が増加する三期クリープに入り、クリープ破壊に到達する。クリープ法則には完成されたものがいと言われる複数のクリープ現象は複雑である。したがって、クリープ解析にもいろいろな方法はあるが、基礎となるクリープ法則を誤れば思いがけない結果を導くことがある。クリープ法則のほかに合理性を欠くと言われている時間硬化理論、全ひずみ理論は、クリープ解の上下限をもつものとして、構造解析においてその意義を認めよむともある。

本報告は、定荷重のモードで一期クリープから二期クリープに至るあいだに生ずる变形および応力再分配の有限要素法による解析を示す。クリープ法則には時間硬化理論を適用し、その結果を Penny-Murriello および他の方程式による解と比較してある。

2. 解析上の仮定

i) クリープ法則

上に述べたように、ここでの解析にはクリープ法則に時間硬化理論が用いられている。時間硬化理論とは、クリープひずみ速度を応力、時間、温度の関数とするもので、下式によつてあらわされる。

$$\frac{d\varepsilon_c}{dt} = f_1(\sigma, t, T) \quad \text{または} \quad \frac{d\varepsilon_c}{dt} = f_1(\sigma) \frac{df_2(t)}{dt} f_3(T) \quad (1)$$

(1)の第二式右辺の $f_1(\sigma)$, $f_2(t)$, $f_3(T)$ は、しばしば応力関数、時間関数、温度関数と呼ばれている。

時間硬化理論によつて解を求めては比較のためであつて、他のクリープ法則によつて解析を進めるには、もちろん可能である。

ii) 多軸応力の扱い。

一般に、クリープ法則は一軸応力状態の変形に対してしか得られていない。多軸応力状態のモードでの変形にクリープ法則を拡張一般化するためには、通常塑性理論の仮定が用いられているが、ここでもそれにしたがうことにする。すなわち、クリープには体積変化を伴わはない。ひずみ速度は静水圧には影響されない。更に、材料は等方性である。その結果、クリープひずみ増分テンソルを $d\varepsilon_c^c$, 偏差応力テンソルを $\bar{\sigma}$ とすれば、

$$d\varepsilon_c^c = \frac{3}{2} \frac{d\bar{\sigma}}{\sigma} S_{ij}^c \quad (2)$$

を得る。但し、 $d\bar{\sigma}$, $\bar{\sigma}$ は各々相当ひずみ増分、相当応力をあらわす。クリープ法則(1)は $d\varepsilon_c^c$, $\bar{\sigma}$ に対しても成立し

$$d\bar{\sigma} = f_1(\bar{\sigma}) \frac{df_2(t)}{dt} f_3(T) dt \quad (3)$$

相当応力は

$$\bar{\sigma} = \frac{1}{\sqrt{2}} \left\{ (\sigma_x - \sigma_y)^2 + (\sigma_y - \sigma_z)^2 + (\sigma_z - \sigma_x)^2 + 6(\tau_{xy}^2 + \tau_{yz}^2 + \tau_{zx}^2) \right\}^{1/2} \quad (4)$$

であり、これを偏微分して下式を得る。

$$\bar{\sigma} \frac{\partial \bar{\sigma}}{\partial \bar{e}_{ij}} = \frac{3}{2} S_{ij} \quad (5)$$

(3), (4), (5) を (2) に用いるを次式のようにはる。

$$d\dot{e}_{ij}^c = f_1(\sigma) \frac{\partial \bar{\sigma}}{\partial \bar{e}_{ij}} \frac{d\bar{e}_{ij}}{dt} f_3(T) dt \quad (6)$$

3. 一階クリ - ノの変分方程式と有限要素法への定式化

・り合い式、境界条件式を時間で微分すれば、次のようすは速度形のり合い式、境界条件式を得る。

$$\dot{\sigma}_{ij} \dot{u}_j + \dot{X}_i = 0 \quad \dot{\sigma}_{ij} v_j = \dot{F}_i \quad (7)$$

真の応力速度分布に無限に近く、かつ静的可能な応力速度分布 $\dot{\sigma}_{ij} + \delta \dot{\sigma}_{ij}$ を考える。外力ならびに物体力の許容速度を $\delta \dot{F}_i$, $\delta \dot{X}_i$ とすれば、(7) より次の各式を得る。

$$\delta \dot{\sigma}_{ij} \dot{u}_j + \delta \dot{X}_i = 0 \quad \delta \dot{\sigma}_{ij} v_j = \delta \dot{F}_i \quad (8)$$

また、次の変分式

$$\int_V \delta \dot{\sigma}_{ij} \dot{e}_{ij} dV = \int_V \delta \dot{X}_i \dot{u}_i dV - \int_{\Sigma} \delta \dot{F}_i \dot{u}_i d\Sigma \quad (9)$$

は、(8) の成立条件となる。Wang - Proger は、(9) の変分方程式より

$$\delta \left[\frac{1}{2} \int_V \delta \dot{\sigma}_{ij} (\dot{e}_{ij} + 2 \dot{e}_{ij}^c) dV \right] = \delta \left[\int_V \dot{X}_i \dot{u}_i dV + \int_{\Sigma} \dot{F}_i \dot{u}_i d\Sigma \right] \quad (10)$$

をえた。ここに、 \dot{e}_{ij}^c はひずみ e_{ij} による弾性成分と塑性成分を含む瞬間塑性ひずみである。また \dot{e}_{ij} はクリ - ノひずみである。よって

$$e_{ij} = e_{ij}^p + e_{ij}^c$$

$\dot{e}_{ij}^p \ll \dot{e}_{ij}^c$ なるを E, $\dot{e}_{ij} = \dot{e}_{ij}^c$ と考へられるので、(10) は次のようすにあらわせる。

$$\delta \int_V \dot{\sigma}_{ij} \dot{e}_{ij} dV = \delta \left[\int_V \dot{X}_i \dot{u}_i dV + \int_{\Sigma} \dot{F}_i \dot{u}_i d\Sigma \right] \quad (11)$$

(9), (11) より

$$\int_V \dot{\sigma}_{ij} \delta \dot{e}_{ij} dV = \int_V \dot{X}_i \delta \dot{u}_i dV + \int_{\Sigma} \dot{F}_i \delta \dot{u}_i d\Sigma \quad (12)$$

を得る。これは仮想仕事の原理に相当するものであり、これより有限要素法の解式を導く。

計算の簡易化のため、変形は塑性成分を除く弾性成分クリ - ノ成分とみなすものとすれば、"応力 - ひずみ" の関係は

$$\dot{\sigma}_{ij} = E_{ijkl} (\dot{e}_{kl} - \dot{e}_{kl}^c) = E_{ijkl} \left\{ \frac{1}{2} (\dot{u}_{kl} + \dot{u}_{lk}) - \dot{e}_{kl}^c \right\} \quad (13)$$

となる。以上のテニナル記法をマトリクスやリトル記法に改め、有限要素法における通常の記号を用いれば、上の各式を要素間に適用しこ

$$\dot{e}_{ij} = \{\dot{e}\} = [B] \{\dot{u}\}^e \quad \dot{\sigma}_{ij} = \{\dot{\sigma}\} = [D] ([B] \{\dot{u}\}^e - \{\dot{e}^c\}) \quad (14)$$

$$\int_V \dot{\sigma}_{ij} \delta \dot{e}_{ij} dV = \int_V ([D]^T [B]^T [D] ([B] \{\dot{u}\}^e - \{\dot{e}^c\})) dV \quad | \quad (15)$$

$$\int_{\Sigma} \dot{F}_i \delta u_i d\Sigma = \int_{V_e} (\{\Delta \dot{\delta}\}^e)^T \{\dot{F}\}^e d\Sigma = (\{\Delta \dot{\delta}\}^e)^T \{\dot{F}\}^e \quad (15)$$

(12) に (15) を代入し、物体の項を除く。

$$\{\dot{F}\}^e = \int_{V_e} [B]^T [D] [B] dV \{\dot{\delta}\}^e - \int_{V_e} [B]^T [D] \{\dot{\epsilon}\}^e dV \quad (16)$$

と表示され、上式の右辺第二項はリリ- ν 変形による應力の外力を見なしえる。これを $\{\dot{F}^c\}$ と置けば、(16) は

$$\{\dot{F}\}^e + \{\dot{F}^c\}^e = [K]^e \{\dot{\delta}\}^e$$

と書き換えられ、これを考慮し物体全域にわたり重ね合せ、各要素増分 $\Delta \dot{\delta}$ に対する変位増分 $\{\dot{\delta}\}$ が求めることとなる。外力一定の場合、 $\{\dot{F}\} = 0$ である。

4. 計算例

内径对外径比 1:5 の円孔板の外周上に、一様は定半径方向の外力を作用する貴重引張りの問題を考える。これは一次元問題として扱うことができる、せん断応力の項はなくなる。要素の内半径を r_i 、外半径を r_o 、また $\Delta r = r_o - r_i$ とおくと、要素の $[B]$ 、 $[D]$ は次のようになる。

$$[B] = \frac{1}{\Delta r} \begin{bmatrix} 0 & 1 \\ \frac{1}{r_i} & 1 \end{bmatrix} \begin{bmatrix} r_o - r_i \\ -1 & 1 \end{bmatrix} \quad [D] = \frac{E}{1-\nu^2} \begin{bmatrix} 1 & \nu \\ 0 & 1 \end{bmatrix} \quad (17)$$

(16) の右辺第一項の $\{\dot{F}^c\}$ を要素重心に成る、これを慣行記号の外に出す近似を採用すれば、この項は

$$\int_{V_e} [B]^T [D] dV \{\dot{\epsilon}\}^e = \frac{E d\theta}{1-\nu^2} \begin{bmatrix} -\frac{1+\nu}{2} r_i - \frac{1-\nu}{2} r_o & -\frac{1+\nu}{2} r_i + \frac{1-\nu}{2} r_o \\ \frac{1-\nu}{2} r_i + \frac{1+\nu}{2} r_o & -\frac{1-\nu}{2} r_i - \frac{1+\nu}{2} r_o \end{bmatrix} \{\dot{\epsilon}\}^e \quad (18)$$

となる。ここに、 $d\theta$ は要素側面のひずみ角であり、要素厚さを単位にしてある。

(1) において $f_1(\theta) = \theta^m$ なるべき法則を適用すれば、 $f_2(\theta) = \bar{\theta}^m$ である。これを用い、(6) をマトリクスベクトルに替えて換ければ、応力成分 σ_r およびすべてのせん断応力 τ_{ij} にせん断ひずみが 0 はるこやも考慮し

$$\{d\dot{\epsilon}\} = \bar{\theta}^{m-1} \begin{bmatrix} 1 & -1/2 \\ -1/2 & 1 \end{bmatrix} \begin{bmatrix} \sigma_r \\ \tau_{ij} \end{bmatrix} \frac{df_2(\theta)}{d\theta} f_3(\theta) d\theta \quad (19)$$

$f_3(\theta)$ を除き、(19) を増分形に次の下式のようにあらわす。

$$\{\Delta \dot{\epsilon}\} = \bar{\theta}^{m-1} \begin{bmatrix} 1 & -1/2 \\ -1/2 & 1 \end{bmatrix} \begin{bmatrix} \sigma_r \\ \tau_{ij} \end{bmatrix} \frac{df_2(\theta)}{d\theta} \Delta \theta \quad (20)$$

円孔板の外半径を単位にとり、 $\{\Sigma\} = \frac{1}{\sigma_0} \{\sigma\}$ 、 $\{\lambda\} = \frac{1}{\tau_{00}} \{\tau\}$ 、 $\frac{\sigma_0}{\sigma_0} = E$ とおくと、(20) は

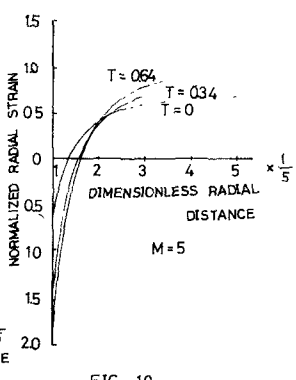
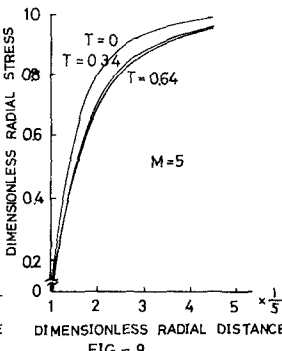
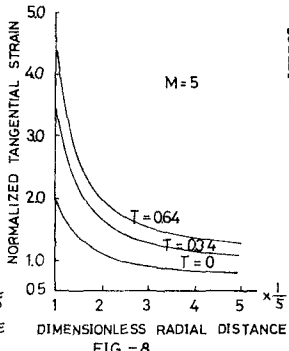
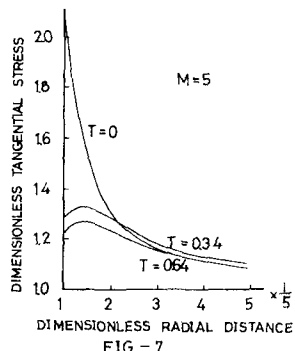
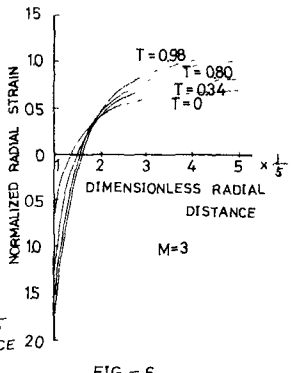
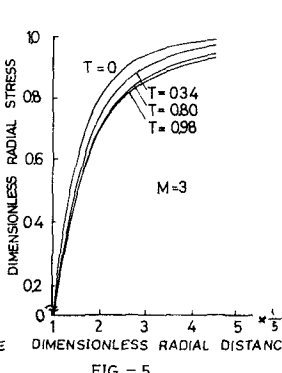
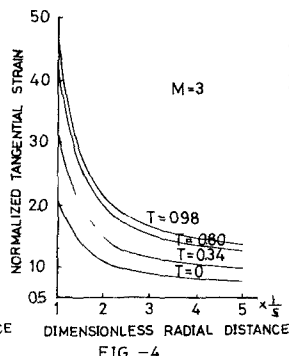
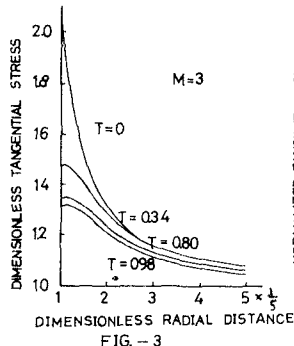
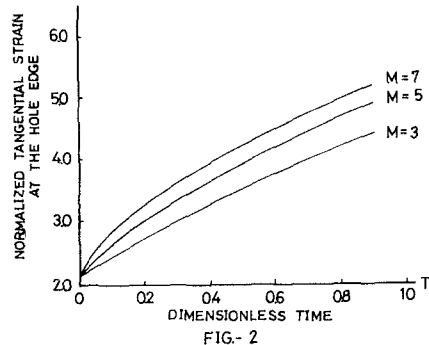
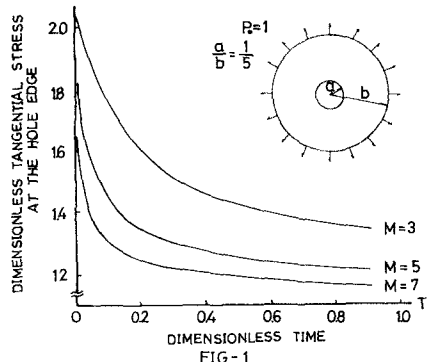
$$\{\Delta \dot{\epsilon}\} = \frac{1}{\sigma_0} \{\Delta \dot{\epsilon}^c\} = \frac{\bar{\theta}^{m-1}}{\sigma_0^{m-1}} \frac{1}{\sigma_0} \begin{bmatrix} 1 & -1/2 \\ -1/2 & 1 \end{bmatrix} \begin{bmatrix} \sigma_r \\ \tau_{ij} \end{bmatrix} E \sigma_0^{m-1} \frac{df_2(\theta)}{d\theta} \Delta \theta$$

$$= \bar{\Sigma}^{m-1} \begin{bmatrix} 1 & -1/2 \\ -1/2 & 1 \end{bmatrix} \{\Sigma\} \Delta \theta$$

のように変形される。 Δt は下記の形をなす無次元時間である。

$$\Delta t = E \sigma_0^{m-1} \frac{df(t)}{dt} \Delta t$$

これらの曲線を用い、計算結果を無次元表示して図-1～図-10に示す。なお、計算は44要素に分割して行なった。 σ_0 が作用した瞬間ににおける解は、理論解と良く合っている。解の全てが定常状態に至るまで、つまり初期クリープの状態に至るまで求められているが、応力、ひずみの変化は Penny-Marriottの定常解に非常に近い結果が得られる。



参考文献 R.K. Penny & D.L. Marriott "Design for Creep" 1971 MacGrawhill.